

## 7. QI - Invarianten

Welche Eigenschaften haben zwei (endl. ez.) quasi-isometrische Gruppen gemeinsam?  
Was überträgt sich mittels QI?

### Def 7.1

Sei  $V$  Menge (von Objekten einer Kategorie).  
Eine QI-Invariante mit Werten in  $V$  ist eine  
Abbildung  $I: \{ \text{endl.}^{\text{einige}} \text{ ez. Gruppen} \} \rightarrow V$   
s.d.  $I(G) = I(H) \forall G, H \text{ endl. ez mit } G \stackrel{\sim}{\text{QI}} H$ .

→ hilfreich z.z.  $G \not\stackrel{\sim}{\text{QI}} H$ .

→ i.A. nicht gut um z.z.  $G \stackrel{\sim}{\text{QI}} H$ , weil  $I(G) = I(H)$   
nicht implizieren muss, dass  $G \stackrel{\sim}{\text{QI}} H$ .

### 7.2 elementare Bsp.

$$1) V = \{0, 1\}, I(G) = \begin{cases} 0 & G \text{ endlich} \\ 1 & G \text{ unendlich} \end{cases}$$

ist eine QI-Invariante

$$2) V = \mathbb{N}, I(F) := \text{rang}(F), F \text{ frei, endl. ez.}$$

ist keine QI-Invariante

~~2.3)~~  
Handlmal ist folgendes leichter zu greifen:

Def 7.3 Eine Eigenschaft  $P$  von endl. ez. Gruppen heißt geometrisch, wenn gilt:  
 $G$  hat  $P$  und  $G \stackrel{\sim}{\text{QI}} H$ , dann hat  $H$   $P$ .

Bsp. 7.4

- 1)  $\forall n \in \mathbb{N}$  ist die Eigenschaft virtuell (isomorph zu)  $\mathbb{Z}^n$  zu sein eine geometrische Eigenschaft.
- 2) endlich zu sein ist geometrisch.
- 3) abelsch zu sein ist nicht geometrisch  
(z.B. gibt es endl. Gruppen sowohl abelsch als auch nicht abelsch.) (z.B.  $\mathbb{Z}$  abelsch,  $S_3$  nicht abelsch)  
Beweis für unendl. Gruppen ist sehr schwer.
- 4) (virtuell) frei und endl. erzeugt zu sein ist geometrisch.

Ziel: 5) endlich präsentiert zu sein ist geometrisch.

6) weitere Bsp: Hyperbolizität, (manche) Ränder von Gruppen, Enden, Gruppenwachstum

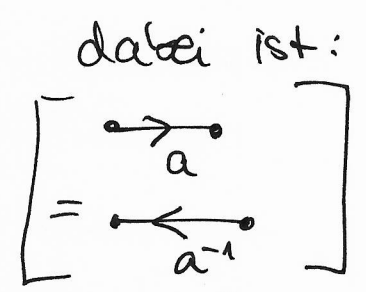
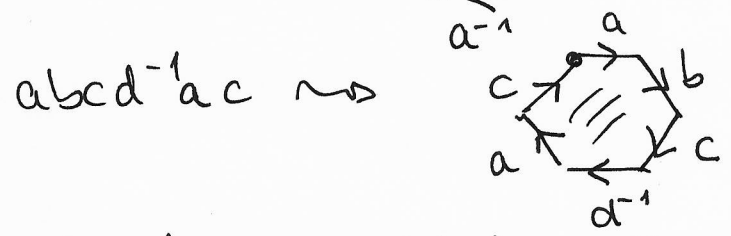
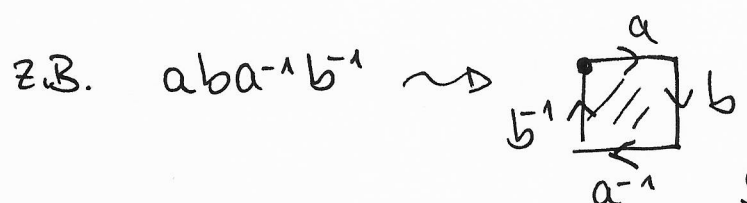
Um 5) beweisen zu können brauchen wir einen Raum auf dem die Gruppen wirken!

Def 7.5 Cayley-2-Komplex  $\tilde{K}(S, R) =: \hat{K}$

Sei  $G$  endl. präsentiert, d.h.  $G \cong \langle S | R \rangle$  mit  $S$  und  $R$  endlich.

Konstruiere den Cayley-2-Komplex  $\tilde{K}$  wie folgt:

- Für alle Relationen  $r \in R$  mit  $l(r) = n$  betrachte ein reguläres  $n$ -gon (Kantenlänge 1) mit ausgezeichneter Startecke und gerichteten, beschrifteten Kanten mit Wort  $r$

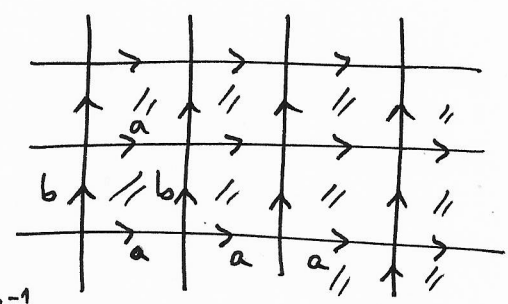


- betrachte den gerichteten (!) Cayleygraphen  $\vec{\text{Cay}}(G, S)$  und klebe an jede Ecke an der ein gerichtetes mit  $r$  beschrifteter Zykel startet eine der oben beschriebenen Zellen an.

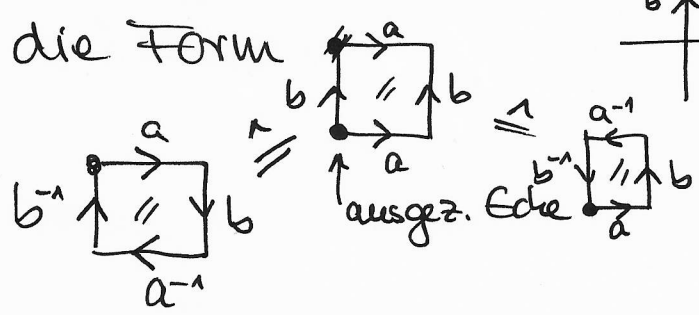
Bsp. 7.6

a)  $G = \mathbb{Z}^2$ ,  $S = \{a = (1), b = (0)\}$ ,  $R = \{r = aba^{-1}b^{-1}\}$

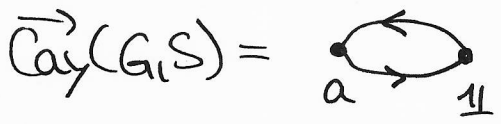
dann ist  $\tilde{K}(G, R) =$



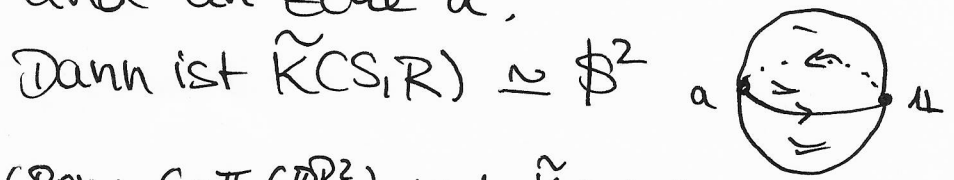
eine der Zellen hat die Form



b)  $G = \langle S | R \rangle$  mit  $S = \{a\}$  und  $R = \{a^2\}$



Zelle: wird 2x angeklebt. Am Plat  $\mathbb{1}$  und an Ecke  $a$ .



(Bem:  $G = \pi_1(\mathbb{R}P^2)$  und  $\tilde{K} = \text{univ. cover von } \mathbb{R}P^2)$

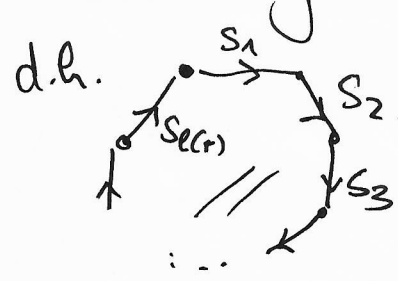
Bem. An jeder Ecke (i.e.  $g \in G$ ) wird eine Zelle pro Wort  $r \in R$  eingeklebt!

Def 7.7. Präsentationskomplex  $K := K(S, R)$

Sei  $G = \langle S | R \rangle$  endlich präsentiert.

Definiere einen Raum ( $\omega$ -Komplex)  $K := K(S, R)$  wie folgt:

- $K$  enthält eine Ecke  $v$  (0-Zelle)
- für alle  $s \in S$  klebe eine orientierte und mit  $s$  beschriftete Kante  $e_s$  (der Länge 1) mit beiden Enden an  $v$  (1-Zellen)
- für jedes Wort  $r \in R$  klebe eine Zelle  $D_r$  ( $l(r)$ -gon mit beschrifteten Kanten wie in 7.5) an die Kanten beschriftungs- und orientierungserhaltend an. (2-Zellen)



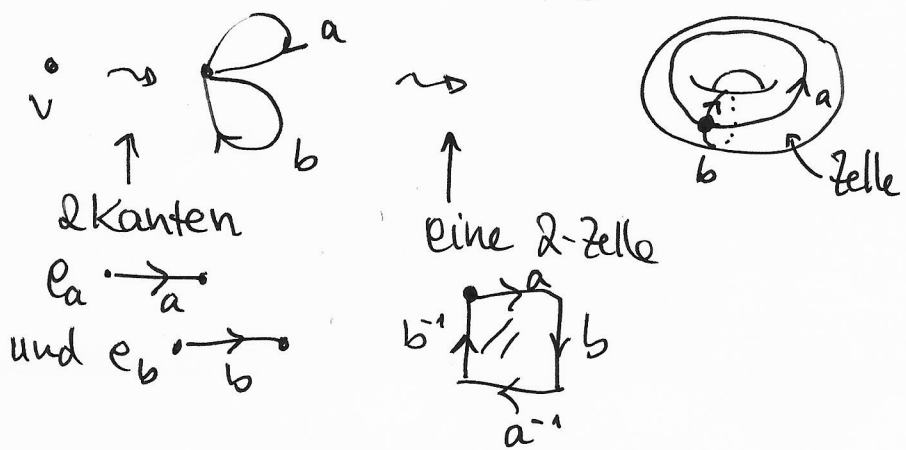
Zelle  $D_r$  klebe Kante  $\xrightarrow{s_i}$  an Kante  $e_s$  orientierungserhaltend an, wenn  $s_i \in S$  und orientierungsumkehrend, wenn  $s_i^{-1} \in S$  und  $s_i \notin S$ .

L

Bsp. 7.8

a)  $G = \mathbb{Z}^2 \cong \langle a, b \mid aba^{-1}b^{-1} \rangle$

Dann ist  $K$  wie folgt zu bauen:



b)  $\tilde{K} = Cay(\mathbb{F}_3, S)$ ,  $K = \text{Rose mit } |S| \text{ Blättern}$

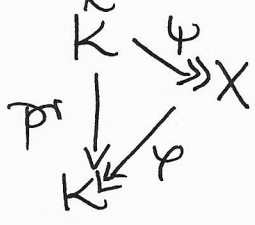
$\mathcal{D}$ : #loops =  $|S|$

c)  $K(\{a^3, \{a^2\}) = \left( \begin{array}{c} \text{Diagram with loops } a \text{ and } a^2 \end{array} \right) \cong \mathbb{R}P^2$

ÜA: Man kann zeigen:

- $K$  ist Quotient von  $\tilde{K}$  modulo der natürlichen  $G$ -Linkstranslationswirkung auf  $\tilde{K}$ , d.h.  $K = G \backslash \tilde{K}$

- Für jeden anderen Raum  $X$  mit lokal isometrischer Abb.  $X \xrightarrow{\varphi} K$  gibt es eine lokale Isometrie  $\tilde{K} \xrightarrow{\psi} X$  mit



Bem.:  $\tilde{K}$  ist univ.ül von  $K$  und  $\pi_1(K) = G$ . (mit Seifert van Kampen)

Lemma 7.9

Sei  $G$  von  $S$  endlich erzeugt,  $\pi: \mathbb{F}(S) \rightarrow G$  die natürliche Projektion und  $R \subset \ker(\pi)$ . Sei  $X$  der Komplex, den man durch Ankleben von 2-Zellen  $D^2$  wie in 7.5 aus  $\text{Cay}(G, S)$  und  $R$  erhält. Dann gilt:

$\perp$   $X$  ist einfach zshid  $\iff \langle R \rangle_G^\triangleleft = \ker(\pi)$

Beweis-Skizze (Siehe auch B# 7.135)

$\vec{Cay}(G, S)$  ist ~~ein~~ isomorph zum Quotienten  $\vec{Cay}(\mathbb{F}(S), S)$ , wobei  $\vec{Cay}(\mathbb{F}(S), S)$  ein Baum ist,  $\ker(\pi)$

$\Rightarrow \pi_1(\vec{Cay}(G, S)) \cong N := \ker(\pi)$  und ein Wort in  $S \cup S^{-1}$  ist in  $N$  g.d.w. es die Beschriftung eines Zyklus in  $\vec{Cay}(G, S)$  entspricht, der in  $\mathbb{1}$  beginnt und endet.

Sei  $u \in \mathbb{F}(S)$  ein reduziertes Wort und  $v_u$  Ecke in  $\vec{Cay}(G, S)$  in der der eindeutige Pfad mit Label  $u$  endet, der in  $\mathbb{1}$  startet.

Klebe startend in  $v_u$  eine Scheibe ( $n$ -gon) an, deren Randkanten mit  $r$  beschriftet ist.

Dann gilt:  $\pi_1(\text{resultierender 2-Komplex}) = N / \langle u^{-1} r u \rangle$

Allgemein gilt mit Defekt von Kampen:

$\pi_1(\vec{Cay}(G, S) \text{ verklebt mit } 2\text{-Zellen } \partial r \ \forall r \in R \text{ und } \forall u \in G) = N / \underbrace{N(R)}_{:= \langle R \rangle_G^{\Delta}}$

Insbes. ist  $\uparrow$  dieses Kplx einf. zellig. g.d.w.  $\langle R \rangle_G^{\Delta} = N$ .



## Satz 7.10

- 101 -

Endlich präsentiert zu sein ist geometrisch.

Genauer:

$G$  endl. erz. von  $S$  mit Relationen  $R$ ,  $|R| < \infty$ .

Sei  $H$  von  $S'$  endlich erzeugt und  $H \cong_{\alpha} G$ .

Dann ist  $H$  endlich präsentiert und es

existiert eine endl. Menge an Relationen

$\{R'\}$  s.d.  $H \cong \langle S' \mid R' \rangle$ .

Beweis: Siehe S. 103 ff. Material HD WS #18  $\square$

Beweis 7.5 7.10

Setze  $G_1 := G$ ,  $G_2 := H$  und  $\Gamma_i := \overrightarrow{\text{Cay}}(G_i, S_i)$ .  
 $S_1 := S$ ,  $S_2 := S'$

Sei  $g$  die Länge des längsten Wortes in  $R$ .

Wir wissen, dass der Cayley-2-Komplex  $\tilde{K}_1$  von  $G_1$  einfach zusammenhängend ist.

Es ist  $G_1 \cong_{\text{gr}} G_2$ , somit existieren  $(\text{Cay})$ -quasi-Isometrien  $f, f'$ , die quasi-invers sind:

$$\begin{array}{ccc} & \xleftarrow{f} & \\ \Gamma_1 & & \Gamma_2 \\ & \xrightarrow{f'} & \end{array} \quad \text{für gewisse } C, D.$$

Sei weiter  $\mu > 0$  so gewählt, dass  
 $d(f'(f(v)), v) \leq \mu \quad \forall v \in \Gamma_2$ .

(Gilt, weil  $f, f'$  quasi-Inverse.)

Setze  $m := \max\{g, \mu, C, D\}$  und  
 $M := 3 \cdot (3m^2 + 5m + 1)$ .

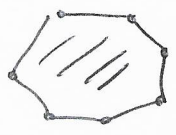
Konstruiere einen 2-Komplex  $K_2'$  aus  $\Gamma_2$  durch Ankleben einer 2-Zelle an jeden Kreis (reduziert!) der Länge  $\leq M$  in  $\Gamma_2$ .

(Achtung:  $K_2'$  ist kein Präsentationskplx, da wir noch nicht wissen, dass  $G_2$  endl. präis. ist.)

Sei jetzt  $l$  ein Kantenzug in  $\Gamma_2$ , d.h.

$$l = (g_1, \dots, g_n, g_1) \text{ mit } g_i \in G_2.$$

Betrachte (stetige) Abb.  $f_e: \mathbb{D}^2 \rightarrow \Gamma_2$ ,

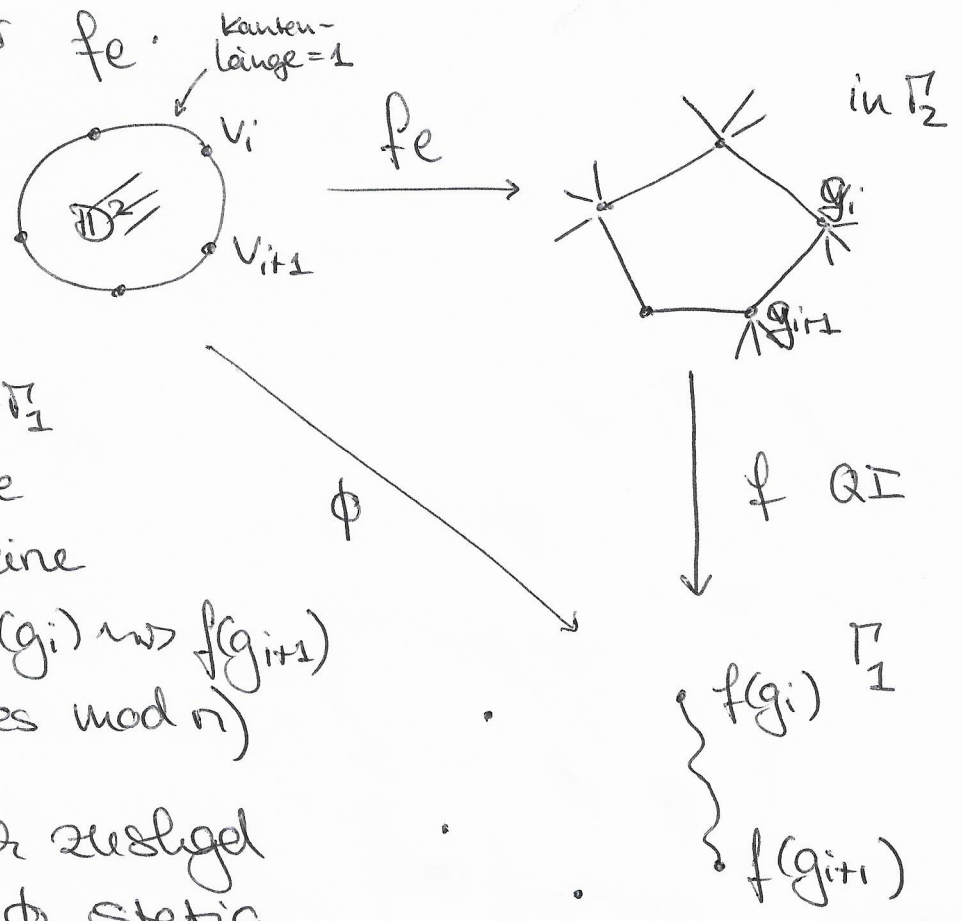
wobei  $\mathbb{D}^2 =$   Kreisscheibe mit simpliz. Rand mit  $n$  Kanten

$$\text{und } f_e(\partial\mathbb{D}^2) = l.$$

(P. 7.9) mit Lemma 5.10 folgt dann, dass  $G_2$  endl. präsentiert ist, wenn wir zeigen können, dass  $f_e$  eine stetige Fortsetzung  $\hat{f}_e: \mathbb{D}^2 \rightarrow K_2'$  besitzt, d.h.  $K_2'$  einf. zuegl. ist.

Um dies zu zeigen, seien  $v_i$  die Urbilder von  $g_i$  unter  $f_e$ .

Sei nun  $\phi: \partial\mathbb{D}^2 \rightarrow \Gamma_1$  eine Abb, die  $v_i$  auf  $f(g_i) \in \Gamma_1$  und die Kante  $\{v_i, v_{i+1}\}$  auf eine Geodäte von  $f(g_i) \rightsquigarrow f(g_{i+1})$  schiebt. (Indizes mod  $n$ )



Weil  $K_1'$  einfach zuegl. ist erweitert  $\phi$  stetig

auf eine Abbildung  $\hat{\phi}: \mathbb{D}^2 \rightarrow \tilde{K}_1$ .

Wir werden jetzt mit Hilfe von  $\tilde{K}_1$  die Scheibe  $\mathbb{D}^2$  triangulieren und damit eine Erweiterung  $\hat{f}_e$  von  $f_e$  definieren.

- $\forall x \in \mathbb{D}^2$  definiere Elemente  $h_x \in G_1 = V(\mathbb{R}_1) = G_1$  wie folgt:
  - 1) ist  $\hat{\phi}(x)$  eine Ecke, so setze  $h_x = \hat{\phi}(x)$ . Insbes. ist  $h_{v_i} = f(v_i) \forall i!$
  - 2) ist  $\hat{\phi}(x)$  in einer offenen Kante / 2-Zelle enthalten, so wähle eine (beliebige) Ecke der Kante / Zelle als  $h_x$ .

Weil  $\hat{\phi}$  stetig ist gilt dann  $d(h_x, h_y) \leq \beta$   $\forall x, y$ , die "nahe genug" sind in  $\mathbb{D}^2$ .

Weiter ist  $d(\hat{\phi}(x), h_x) \leq \frac{1}{2} \forall x \in \partial \mathbb{D}^2$  (weil Kanten in  $\partial \mathbb{D}^2$  alle Länge 1 haben).

- Trianguliere  $\mathbb{D}^2$  nur so, dass alle Ecken  $v_i$  in  $\partial \mathbb{D}^2$  Ecken der Triangulierung  $\mathcal{T}$  sind und, dass  $\forall$  ~~da~~ benachbarten Ecken  $t, t'$  von  $\mathcal{T}$  gilt:  $d(h_t, h_{t'}) \leq \beta$ .

- Setze  $\hat{f}_e|_{\partial \mathbb{D}^2} = f_e$  und  $\hat{f}_e(x) := f'(h_x) \forall x$  im Inneren von  $\mathbb{D}^2$ .

Beh.  $\forall$  benachbarten Ecken  $t, t'$  der  
 Triangulierung  $\mathcal{T}$  ist  
 $d_{\mathbb{R}^2}(t, t') \leq \pi/3$ .

Ist die Beh. wahr, so können wir  $\hat{f}_e$  stetig  
 auf  $\mathbb{D}^2$  erweitern, indem wir Kanten von  $\mathcal{T}$   
 auf Geodäten in  $\mathbb{R}^2$  schicken und einsehen,  
 dass (nach Konstruktion) Kreise der Länge  
 $\leq \pi$  eine ~~2~~ 2-Zelle in  $K_2'$  beranden.

$\leadsto \hat{f}_e$  kann stetig auf die Dreiecke in  $\mathcal{T}$  von  
 $\mathbb{D}^2$  erweitert werden.

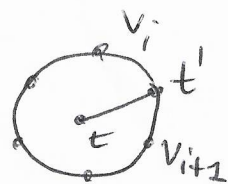
Zz ist also noch die Beh.:

Es muss nur  $t$  Ecke in  $(\mathbb{D}^2)^\circ = \text{Inneres von } \mathbb{D}^2$   
 betrachtet werden und  $t' \in \partial\mathbb{D}^2$ .

Sei  $t'$  zwischen  $v_i$  und  $v_{i+1}$ . Dann gilt:

$$d(\hat{f}_e(t), \hat{f}_e(t')) = d(f'(h_t), f_e(t'))$$

$$\leq \cancel{d(\hat{f}_e(t), \hat{f}_e(v_i))} + d(f'(h_t), f'(h_{t'}))$$



↑  
 mehrfaches  
 Anwenden  
 der  $\Delta$ -Ungl.

$$+ d(f'(h_{t'}), f'(\phi(t')))$$

$$+ d(f'(\phi(t')), f'(\phi(v_i)))$$

$$+ d(\underbrace{f'(\phi(v_i))}_{\text{in } \mathbb{R}^2}, \underbrace{f_e(v_i)}_{\text{in } \mathbb{R}^2}) + d(f_e(v_i), f_e(t'))$$

= (\*)

↓  $f'$  ist eine (CD)-QE

$$\textcircled{*} \leq (C \cdot \rho + D) + (C \cdot \frac{1}{2} + D)$$

$$+ [C \cdot d(\phi(v_i), \phi(v_{i+1})) + D]$$

$$+ d(\underbrace{f'(f(g_i))}_{= \phi(v_i)}, g_i) + 1$$

$d(h_t, h_{t'}) \leq \rho$

$$\leq (C\rho + D) + (C \cdot \frac{1}{2} + D) + (C \cdot (C + D) + D) + \mu + 1$$

$$\leq 3m^2 + 5m + 1 \leq \pi/3$$

□

Wir werden in den nächsten Wochen noch einige weitere Beispiele für QE-Invarianten kennen lernen:

- Hyperbolizität
- Enden von Räumen / Gruppen
- Gruppenwachstum